

I-345 長大橋梁の3次元ガスト応答解析

本州四国連絡橋公団 正員 秋山晴樹
 日立造船(株) 正員 山村信道
 日立造船(株) 正員 田中 洋

§ 1. 解析概要

構造物の長大化、高層化に伴って、風の乱れによる構造物の不規則振動は、耐風設計の上で重要となる。¹⁾ 本報告では、自励空気力を考慮した長大橋梁の3次元ガスト応答の定式化の骨子を計算例と共に紹介する。

自励空気力を非定常空気力係数(P^*, H^*, A^*)によって導入し、
 3次元(立体)振動モードを対象とした不規則振動論による汎用解を導いた。外力は、主流方向 $v(t)$ と鉛直方向 $w(t)$ を考慮した。本解式は、振動モード間の連成応答を完全2次結合(CQC)
²⁾ 法を適用し、重根および重根に近い固有振動数が存在する場合にも正解が得られる。

§ 2. 解析方法

自励空気力のn次項を次式で表わす(ρ : 空気密度、 \bar{V}_i : 平均風速、 C_{D_i} : 抗力係数)。³⁾

$$\left. \begin{aligned} P_{in}(t) &= (\rho \cdot \bar{V}_i^2 / 2) \cdot A_i \cdot K_{in} \cdot [P_{1i}^* \cdot (\dot{z}_i / \bar{V}_i) + P_{2i}^* \cdot (B_i \cdot \dot{\alpha}_i / \bar{V}_i) + P_{3i}^* \cdot K_{in} \cdot \alpha_i] \cdot L_i && \text{(抗力)} \\ L_{in}(t) &= (\rho \cdot \bar{V}_i^2 / 2) \cdot B_i \cdot K_{in} \cdot [H_{1i}^* \cdot (\dot{y}_i / \bar{V}_i) + H_{2i}^* \cdot (B_i \cdot \dot{\alpha}_i / \bar{V}_i) + H_{3i}^* \cdot K_{in} \cdot \alpha_i] \cdot L_i && \text{(揚力)} \\ M_{in}(t) &= (\rho \cdot \bar{V}_i^2 / 2) \cdot B_i^2 \cdot K_{in} \cdot [A_{1i}^* \cdot (\dot{y}_i / \bar{V}_i) + A_{2i}^* \cdot (B_i \cdot \dot{\alpha}_i / \bar{V}_i) + A_{3i}^* \cdot K_{in} \cdot \alpha_i] \cdot L_i && \text{(モーメント)} \\ P_{1i}^* &= -2C_{D_i} / K_{in}, \quad P_{2i}^* = (dC_{D_i}/d\alpha) / K_{in} = C_{D_i}' / K_{in}, \quad P_{3i}^* = C_{D_i} / K_{in}^2, \quad K_{in} = B_i \cdot \omega_n / \bar{V}_i \end{aligned} \right\} \quad (1)$$

ガスト(バフェティング)空気力のn次項を次式で表わす。

$$\ddot{x}_n(t) + 2h_n \cdot \tilde{w}_n \cdot \dot{x}_n(t) + \tilde{\omega}_n^2 \cdot x_n(t) = \{\phi_{in}\}^T \cdot \{F_{in}^B(t)\} / M_n^* \quad (2)$$

$$\dot{M}_n^* = \{\phi_{in}\}^T \cdot \{M\} \cdot \{\phi_{in}\} \quad (3)$$

$$\{\phi_{in}\}^T \cdot \{F_{in}^B(t)\} / M_n^* = \{P_{in}\}^T \cdot \{v_i(t)\} + \{Q_{in}\}^T \cdot \{w_i(t)\} \quad (4)$$

$$\begin{aligned} P_{in} &= (\rho \cdot \bar{V}_i / M_n^*) \cdot [\phi_{in}^z \cdot C_{D_i} \cdot A_i \cdot G_{D_i}(\tilde{f}_n) + \phi_{in}^y \cdot C_{L_i} \cdot B_i \\ &\quad \cdot G_{B_i}(\tilde{f}_n) + \phi_{in}^a \cdot C_{M_i} \cdot B_i^2 \cdot G_{B_i}(\tilde{f}_n)] \cdot L_i \end{aligned}$$

$$\begin{aligned} Q_{in} &= (\rho \cdot \bar{V}_i / 2M_n^*) \cdot [\phi_{in}^z \cdot C'_{D_i} \cdot A_i \cdot G_{D_i}(\tilde{f}_n) + \phi_{in}^y \cdot C'_{L_i} \cdot B_i \\ &\quad \cdot G_{B_i}(\tilde{f}_n) + \phi_{in}^a \cdot C_{D_i} \cdot A_i \cdot G_{D_i}(\tilde{f}_n) + \phi_{in}^a \cdot C'_{M_i} \cdot B_i^2 \\ &\quad \cdot G_{B_i}(\tilde{f}_n)] \cdot L_i \end{aligned} \quad (5)$$

ここに、

$v_i(t)$: 主流方向の変動風速

$w_i(t)$: 鉛直方向の変動風速

$G_{D_i}(\tilde{f}_n)$, $G_{B_i}(\tilde{f}_n)$: 部材高 D_i , 部材幅 B_i

に関する空力アドミッタンス

等価振動数 ω_n , 減衰率 h_n は次式で表わせる。

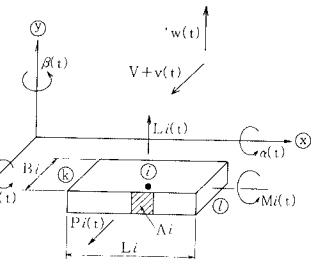


図-1 座標系及び記号

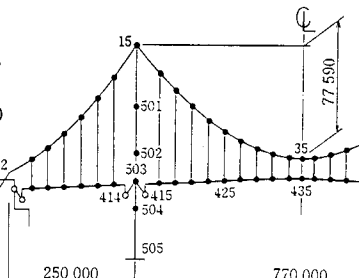


図-2 解析モデル

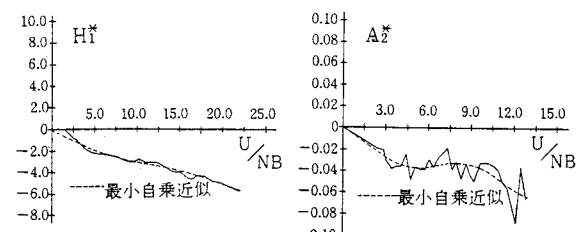
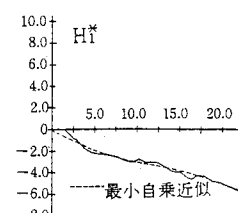


図-3 非定常空気力係数

